

단일보드 마이크로 컴퓨터를 이용한 資料 蒐集裝置

A Data Acquisition System based upon a Single-board Microcomputer

崔 昌 鉉*

C. H. Choi

Summary

A data acquisition system was designed to measure the forces on a rolling coulter in three coordinated directions, angular velocity of the coulter and travel speed of a soil bin. The data acquisition system consisted of a dynamometer, speed transducers, a signal conditioner, an interface board, an Aim-65 microcomputer and a digital data recorder.

Strain gages were attached on the surface of the dynamometer and connected to form three Wheatstone bridges, which measure the draft force, the vertical force and the side force on the coulter. An interaction among three dimensional forces was found during the calibration. A matrix procedure was used to correct the forces for this interaction. Rotary shaft encoders were mounted on the coulter and on the soil bin drive to measure the angular velocity of the coulter and the travel speed of the soil bin. The angular velocity and the travel speed were computed by counting the number of pulse signals from the rotary shaft encoders every 0.2 second.

The digital signals from the rotary shaft encoders were connected to counters and the analog signals from the dynamometer, after passing through the signal conditioner, were connected to the A/D converter. The microcomputer programs, written in assembly language, were developed to read signals from the transducers, convert them to actual unit, display them upon request and record them on a digital tape every 0.2 second.

1. 緒 論

作業機外土壤의 相互作用을 보다 정확히 이해하기 위하여正確하고 信賴性 있는 資料蒐集을 하기 위한 裝置의 開發가 필요하다. 平導體 產業의 발달과 더불어 마이크로 컴퓨터를 이용한 여러 경비의 資料 蒐集裝置들이 開發되어 使用되고 있다. 대부분의 資料 蒐集裝置는 여러 종류의 센서, I/O 절대값 이스, 資料 贯藏裝置, 資料 分析裝置로 이루어진다. 資料 蒐集裝置의 信賴度는 주상 대상물의 변화를 최대로 感知하는 센서의 正確性에 의하여 결정된다. 正確하고 信賴性 있는 資料 蒐集을 위하여 센서는 誤差가 작고 안정된 信號을 發出할 수 있는 센서의 開

發이 必要的이다. 資料 贯藏裝置는 차로의 크기와 차로 分析裝置와 人力裝置의 人力信號 형태에 의하여 결정되며 컴퓨터의 記憶素子, 프로세서, 마그네트ape, 디스크 등이 많이 利用되고 있다.

마이크로 컴퓨터가 大衆化되고자 資料 贯藏裝置와 資料 分析裝置는 個人用 마이크로 컴퓨터로 開發하는 領域이 있다. 16비트 중앙 처리 장치(CPU)를 利用한 마이크로 컴퓨터는 다양한 프로그램의 使用, 또는 빠른 資料 處理速度, 하드 디스크 등을 이용한 大量의 資料 贯藏能力 등의 長點을 가지고 있으므로 산업상의 資料 蒐集裝置에 많이 使用되고 있다. 그러나 園場實驗時에는 필요 이상의 크기, 컴퓨터의 부속장치 연결을 위한 많은 空間, 안

*成功館大學教 農科大學 農業機械工學科

정된 電力 供給의 어려움, 먼지와 振動에 의한 시스템의 誤動作 등으로 보다 작고 간편한 시스템의 開發이 요구되고 있다.

하나의 보드 위에 모든 칩(chip)을 부착시킨 단일보드 마이크로 컴퓨터는 16비트 마이크로 컴퓨터보다는 느리고 資料의 贯藏能力이 부족하나, 부피가 작고 가격이 싸며 農業用 車輛으로부터 電源의 供給이 可能하고 각 센서들의 연결이 비교적 容易한 長點을 가지고 있어 園場實驗을 위한 資料 贅集裝置에 많이 利用되고 있다. 本研究의 目的은 播種機에 사용되는 圓板形 溝切器(coulter)의 作業效率을 評價하기 위하여 원판형 구설기에 作用하는 수평력과 수직력, 작업속도, 회전속도를 測定하여 자료를 贯藏할 수 있는 단일보드 컴퓨터를 이용한 資料 贀集裝置의 構成에 있다.

2. 資料 贙集裝置의 構成

圓板形 溝切器의 性能을 測定하기 위한 資料 贙集裝置는 그림 1과 같이 센서, 信號調整機(signal conditioner), I/O 인터페이스, 마이크로 컴퓨터, 資料 贔藏을 위한 디지털 녹음기로 이루어졌다.

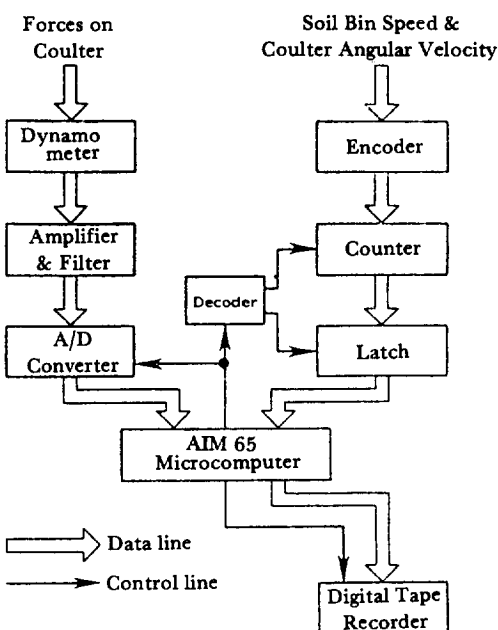


Fig. 1. Block diagram of the data acquisition system

가. 마이크로 컴퓨터

미국 Rockwell 회사에서 製作한 Aim-65 마이크로 컴퓨터가 資料 贙集裝置에 使用되었다. Aim-65는 價格이 싸고, 중앙처리장치가 R6502인 1 MHz의 速度로 作動되는 8비트 단일보드 마이크로 컴퓨터이다. Aim-65 마이크로 컴퓨터는 20칸 크기의 5×7 도트 프린터, LED를 使用하여 20칸까지 숫자와 英文字가 出力 可能한 화면, 54개의 자판으로 이루어진 키보드, 2조의 오디오(audio) 녹음기 인터페이스, 텔레타이프 인터페이스, 데이터 人力과 出力を 위한 2개의 시리얼라인(serial line), 2조의 8비트 兩方向 I/O 포트, 4개의 制御線(control line), 2개의 타이머 등을 가지고 있다.

컴퓨터 보드에는 주변기기를 制御하기 위한 8kbyte의 프로그램 ROM, 어셈블리 언어를 補助하는 4kbyte의 ROM, 베이직 言語를 위한 8kbyte의 베이직 ROM과 사용자의 프로그램 개발을 위한 4kbyte의 RAM의 기억소자가 있다. 擴張 보드를 사용하므로서 사용자의 RAM을 64kbyte 까지 增加시킬 수 있다.

나. 센서

1) 牽引力과 垂直力 測定

圓板形 溝切器에 作用하는 牵引力, 垂直力 및 側方分力を 測定하기 위하여 Micro-measurement 회사의 스트레이인 케이지(CEA-13-062 WT-120)를 利用한 檢力計(dynamometer)를 製作 使用하였다. 스트레이인 케이지는 원판형 溝切器를 지지하는 외팔보의 중앙축에 附着되어 휘스톤 브리지(Wheatstone bridge)를 構成하였다. 외팔보는 알루미늄으로 製作되었으며 폭이 2.5cm, 높이가 2.5cm, 길이가 17cm이다.

그림 2는 각 方向의 힘을 檢出하기 위한 스트레이인 케이지의 構成을 나타낸 것이다. American Machine & Metal 회사의 RIEHLE 油壓 試驗機器와 Vishay Instruments 회사의 스트레이인 측정기(모델 P-350 A)를 利用하여 檢力計의 測定感度를 시험하였다. 각 方向에 油壓機器로 220 Newton의 힘을 增加시키면서 스트레이인을 測定하는 測定感度 시험은 2회 反復되었다.

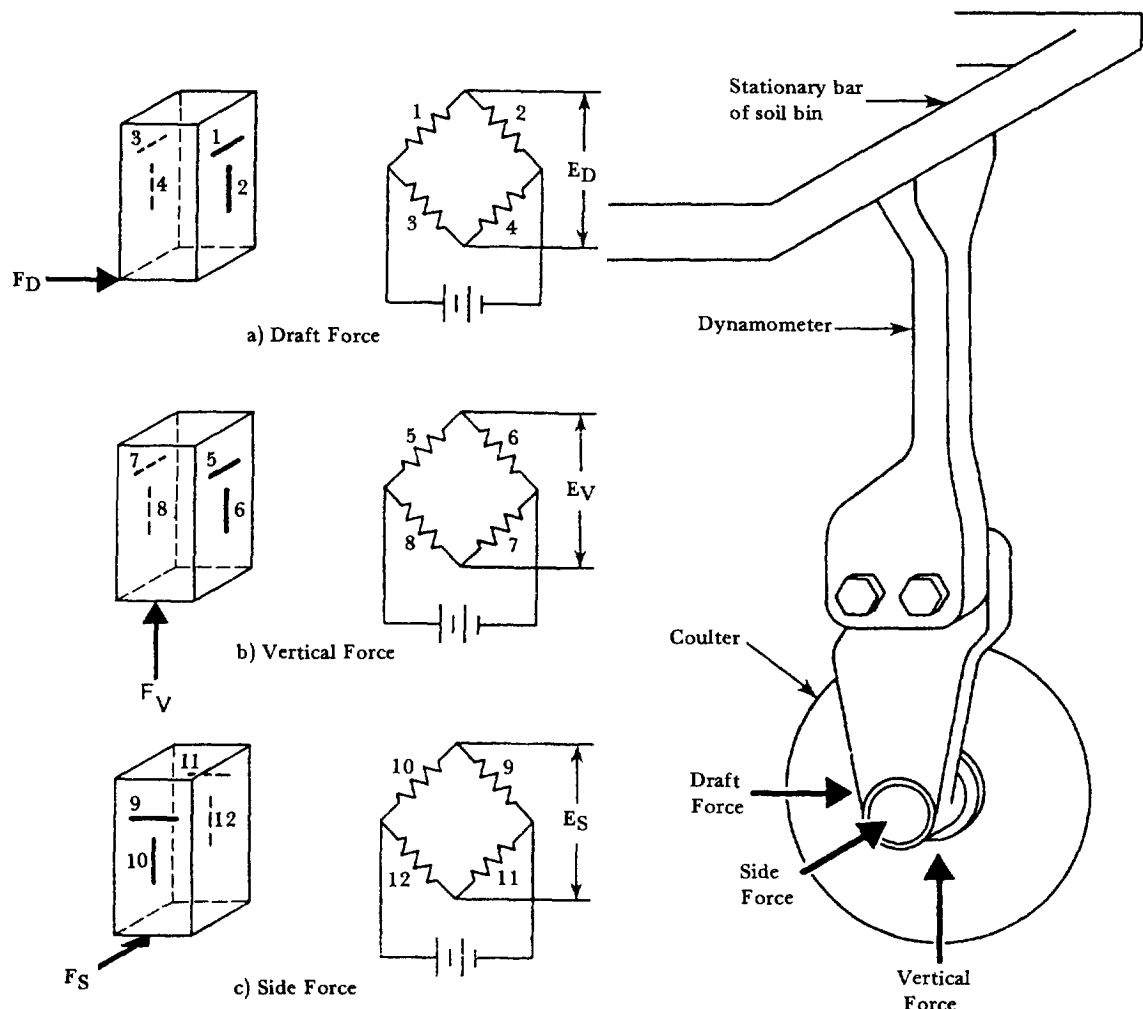


Fig. 2. Arrangement of the strain gages for the dynamometer

2) 速度測定

溝切器의 回轉速度와 人工土槽의 走行速度는 미국 Disc Instrument사의 로터리 인코더(rotary encoder) EC 81-1024-5를 사용하여 测定하였다. 로터리 인코더는 대회전당 1,024개의 TTL(transistor-transistor logic) 펄스(pulse)를 發生 하므로 0.2초마다 이 펄스를 計數함으로서 溝切器의 回轉速度와 人工土槽의 走行速度를 구할 수 있다. 제작된 디지털 카운터(digital counter)는 0.2초당 99까지 計數할 수 있는 容量를 가지고 있으며, 로터리 인코더의 회전당 펄스는 4비트, 카운터

를 이용하여 溝切器의 回轉 速度 測定을 위하여 시
256개로 人工 土槽의 走行 速度 測定을 위하여서는
64개로 각각 調整하여 計數되었다. 가운데가 計數
한 펌스로 부터 溝切器의 回轉 速度와 人工 土槽의
走行 速度는 다음과 같이 계산 되었다.

$N = 0, 2$ 초마다 카운터가 計數한 펄스의 수

w = 溝切器의 回轉速度 (RPM)

V = 人工土槽의 走行速度 (km/h)

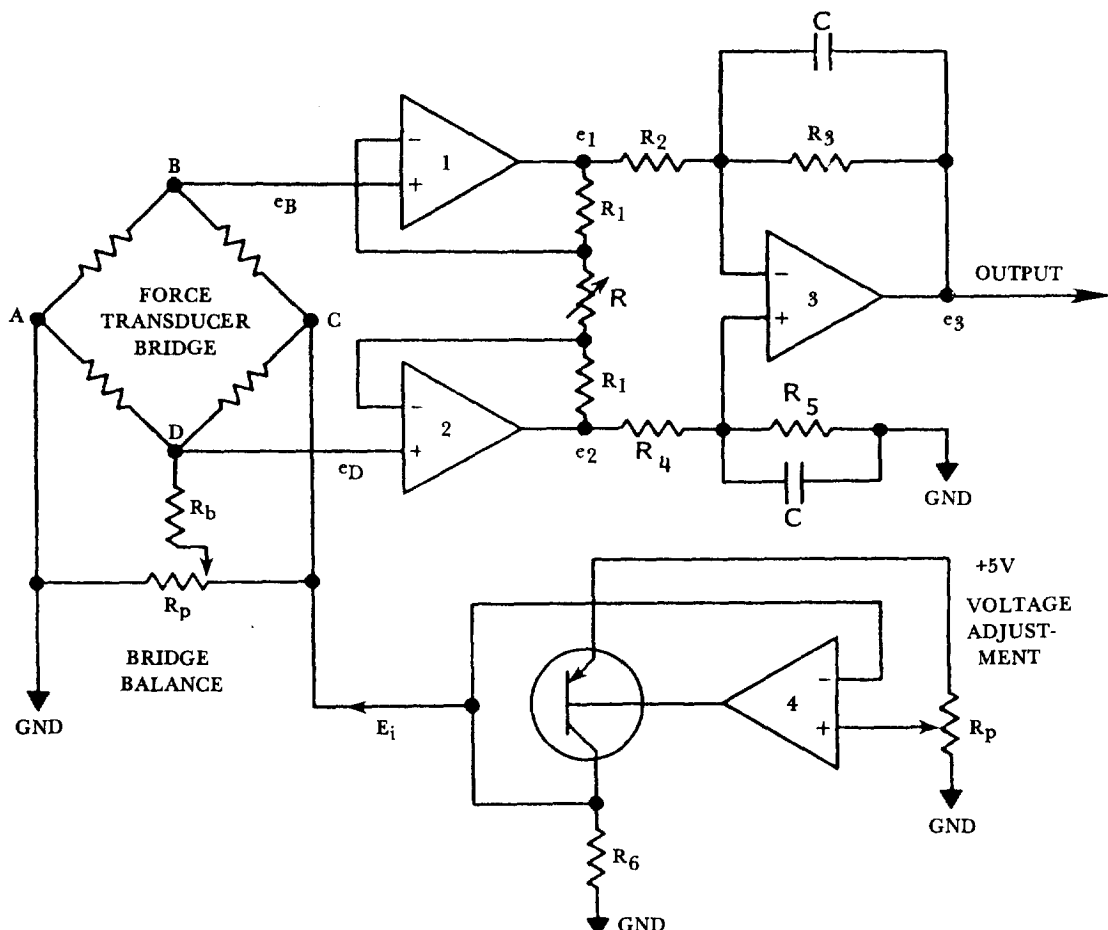
4. 信號調整器

3 개의 채널을 가진 信號調整器는 McConnell과 Park (1981)에 의하여 開發된 回路를 수정하여 DIP 프러그보드 (plugboard)에 製作되었다. 각 채널은 增幅器와 필터로 이루어졌다. 그림 3 과 같이 增幅器는 4 개의 演算增幅器 (OP-Amp) 가 포함된 National Semiconductor 의 LM348 을 使用하였다. 而 增幅器에 필연한 電壓은 外部 電源으로부터 공급되었다. 外部 電源으로부터 安定된 電壓을 휘스톤 브리지에 供給하기 위하여 電壓 조정회로를 사용하였다. 스트레인 세이지의 抵抗 變化에 의해 휘스톤 브리지의 出力은 OP-Amp 1 과 2 에 연결되었으며 OP-

Amp 3을 통하여 出力端子 增幅器의 信号는 평타로
연결되었다. 增幅器의 出力電壓 (e_3) 은 최소도 그리
지의 電位差 ($e_b - e_a$)에 의하여 아래와 같이 나타낼
수 있다.

$$e_3 = (1 + R_1/R) \cdot (R_3/R_2) \cdot (e_B - e_R) \dots \dots \dots (3)$$

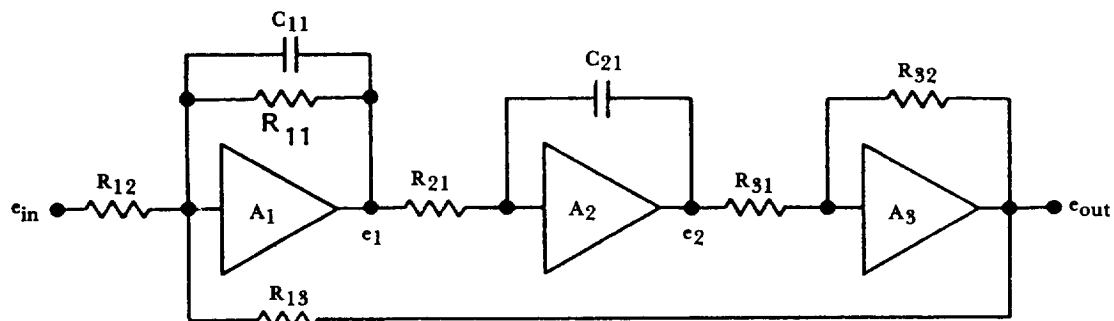
작 채널의 계인은 抵抗 R의 값을 변화시키며 200부터 2,000 사이로 調整되었다. 增幅器로 뿐나 出力된 電壓은 잡음은 除去하고 安定된 信號를 極出하기 위하여 펌터로 連結되었다. 펌터는 그림 4와 같이 製作되었으며 7 Hz의 고유 주파수와 65%의 조화율을 가지고 있다.



$$R_1 = R_2 = R_5 = 100k\Omega,$$

$$R_2 = R_4 = R_b = 10k\Omega, R = 10k\Omega(\text{POT}), R_p = 100k\Omega(\text{POT}), C = 0.001\mu\text{f}$$

Fig. 3. Circuit diagram of the amplifier



FOR $f_n = 7 \text{ Hz}$ and $\xi = 0.65$

$$R_{12} = R_{13} = R_{21} = 200\text{k}\Omega, R_{11} = 175\text{k}\Omega, R_{31} = 77\text{k}\Omega, C_{11} = C_{21} = 0.1\mu\text{F}$$

Fig. 4. Circuit diagram of the low pass filter

라. I/O 인터페이스

인터페이스 보드는 DIP 프러그보드에製作되어 신호조정기의 프러그보드와 함께 203mm × 305mm × 76mm 크기의 알루미늄 상자에 고정되었다. 인터페이스 보드는 그림 5와 같이 2組의 8비트 디지털 카운터, 2組의 8비트 I/O 래치(Intel 8212), 디코더(SN 74145), 8비트 A/D 변환기(ADC 0817)로 이루어졌다. 로터리 인코더에서 발생한 디지털 신호는 8비트 카운터에서 계수되었으며 檢力計의 아날로그 신호는 신호調節器를 통과한 후 A/D 변환기

로連結되었다.

8비트 디지털 카운터는 2개의 4비트 카운터(SN74390)를連結하여製作되었다. 8비트 디지털 카운터는 十進法에 의한 BCD(binary coded decimal) 방식을 사용함으로 최대 99까지 계수할 수 있다. 로터리 인코더에서 발생되는 회전당 1,024개의 펄스는 디지털 카운터의 容量에 비하여 너무 多이므로 8비트 디지털 카운터에서 계수하기 전에 4비트 카운터를 利用하여 구절기의 回轉速度測定을 위한 로터리 인코더는 1/4로, 인공 토조의 走行速度測定을 위한 로터리 인코더는 1/16로 펄스의 수를減少시켰다.

8비트 디지털 카운터의 出力은 I/O 래치를 통과한 후 A/D 변환기의 出力과 함께 마이크로 컴퓨터의 I/O 포트로連結되었다. 마이크로 컴퓨터의 포트-A는 데이타 입력과 出力を 위하여 포트-B는 A/D 변환기와 디코더의 制御를 위하여 使用되었다.

마. 資料 貯藏裝置

Aim-65 마이크로 컴퓨터는 資料의 貯藏을 위하여 오디오 녹음기를 制御할 수 있는 카셋트 인터페이스와 디지털 녹음기를 制御할 수 있는 데이타 输入과 出力を 위한 시리얼 선을 가지고 있다. 오디오 녹음기(Radio Shack 사의 CTR-80 A)는 資料蒐集裝置를 制御하는 프로그램을 貯藏하기 위하여 디지털 녹음기(Techtronic사의 Data Cassette 817)

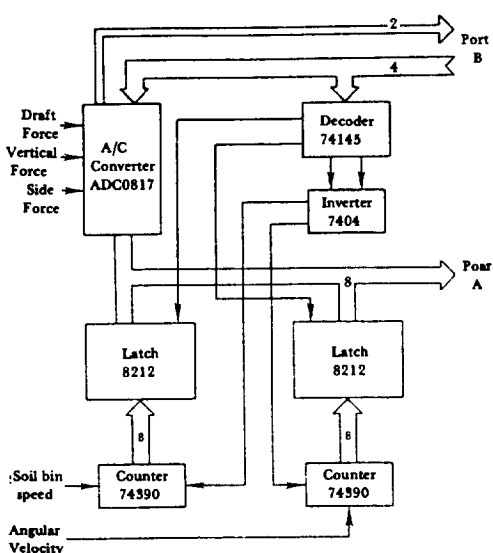


Fig. 5. Block diagram of the interface board

蒐集된 資料를 貯藏하기 위하여 使用되었다.

오디오 녹음기에 資料를 貯藏하는 方法은 80바이트의 データ가 1조가 된 Aim-65 마이크로 컴퓨터가 制御하는 특수한 조별 貯藏方式으로 다른 컴퓨터를 利用하여 資料를 읽을 수 없다. 이 저작 방식은 Aim-65가 각 조별로 データ를 受信함으로 하여 바이트에 誤差가 있으면 전체 データ를 읽을 수 없는 短點이 있다. 디지털 녹음기는 標準化된 RS-232C 포트를 가지고 있으므로 여러 종류의 컴퓨터와 資料의 送信 및 受信이 可能하다. 디지털 녹음기는 아스키 코드(ASCII code)로 이루어진 資料를 手動 또는 自動으로 分類, 編輯, 送信, 受信할 수 있는 技能을 가지고 있으며, Aim-65 마이크로 컴퓨터의 프로그램에 의하여 自動 制御되었다. 收集된 資料는 아스키 코드로 變換된 뒤 그림 6과 같이 시리얼선을 통하여 디지털 테이프에 貯藏되었다. 아스키 코드로 貯藏된 資料는 모뎀을 통하여 선자 계산실의 주컴퓨터로 傳達되어 分析하였다.

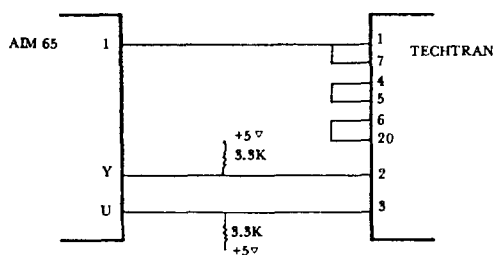


Fig. 6. RS-232C connection between AIM 65 and digital tape recorder

3. 資料 蒐集 프로그램

資料 蒐集 裝置를 制御하는 마이크로 컴퓨터의 프로그램은 I/O 인터페이스의 制御가 容易하고 베이직 언어 보다 實行 速度가 빠른 Aim-65 어셈블리 언어를 使用하였다. 그림 7은 프로그램의 流程도를 나타낸 것으로서 본 프로그램은 0.2초마다 센서로 부터 檢出된 信號를 읽고 원하는 單位로 轉換하여 화면에 出力시키고 디지털 테이프에 貯藏할 수 있도록 開發하였다.

本 資料 蒐集 프로그램은 주 프로그램과 十進法

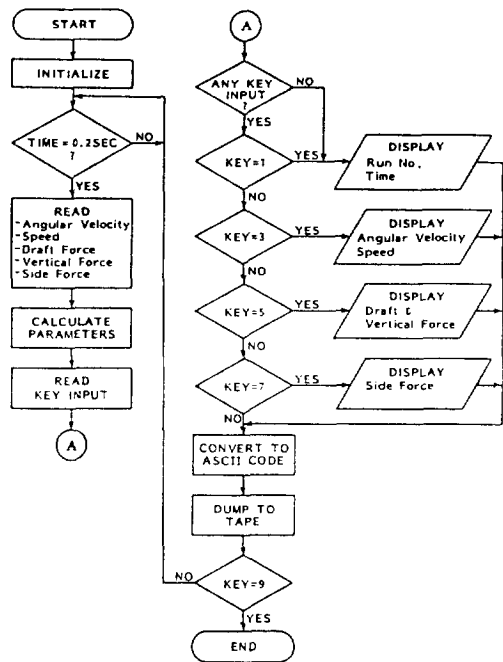


Fig. 7. Program flow chart for the data acquisition system

轉換, 加減, 나눗셈, 화면 출력, 資料 貯藏 등의 부로그램으로 이루어졌으며 키보드의 入力에 의하여 화면의 出力이 制御되었다. 프로그램은 'F1' 키를 누르면 시작되어 '9' 키를 누르면 終了되었으며 Aim-65의 화면 크기가 20x16으로 화면 出力を 制御하기 위하여 '1' 키는 실현번호와 프로그램 총 소요시간, '3' 키는 走行速度와 回轉速度, '5' 키는 奪引力과 水平力, '7' 키는 側方分力を 화면에 出力시킬 때 사용하도록 開發되었다.

4. 結果 및 考察

資料 蒐集裝置의 檢證실험은 人工 土槽에 부착하기 전에 實驗室에서 수행하였다. 機力計의 測定感度 사항 결과 각 方向의 힘에 대한 스트레인은 좋은 直線性을 보여주었다. 그림 8, 그림 9, 그림 10은 測定感度 시험 결과 나타난 奪引力, 水平力, 側方分力과 스트레인의 관계를 나타낸 것이다. 垂直力은 機力計의 壓縮力에 의하여 奪引力과 側方分力を 機力計의 電荷 모멘트에 의하여 각각 測定되었다. 電荷

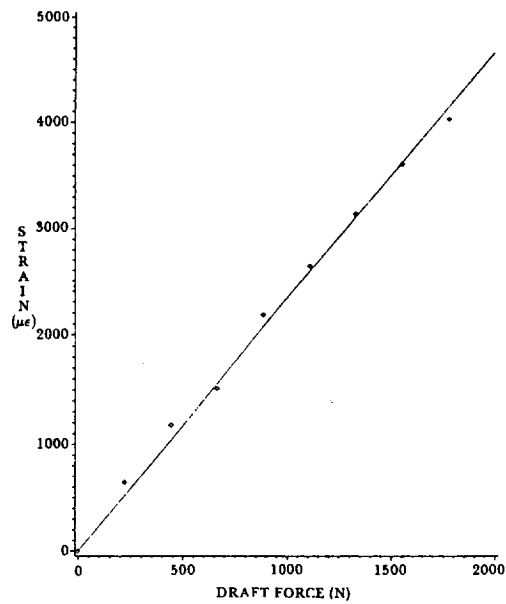


Fig. 8. Result of draft force calibration

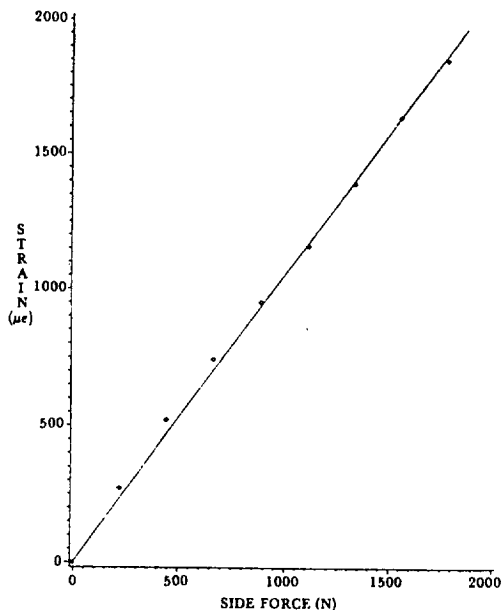


Fig. 10. Result of side force calibration

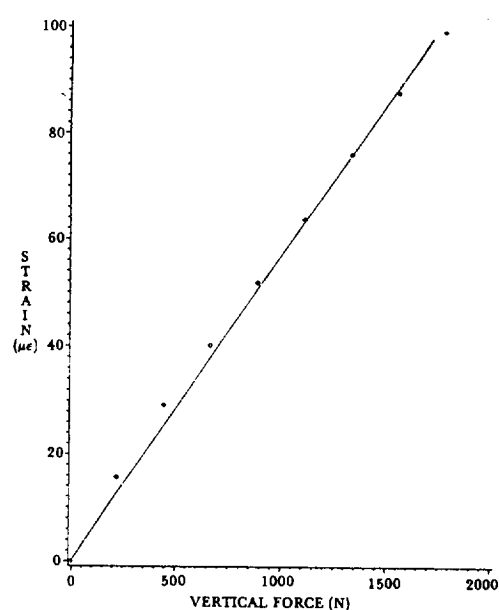


Fig. 9. Result of vertical force calibration

모멘트보다 壓縮力에 대한 스트레이인의 變化가 작으므로 垂直力 测定을 위한 增幅器의 게인을 增加시켰다. 시험기기의 하중을 增加시키며 資料 菲集裝置를 이용하여 牽引力, 垂直力, 側方分力を 측정한

結果, 각 방향 간의 힘의 干涉을 發見할 수 있었다. 각 방향 간의 힘의 干涉을 줄이기 위하여 Perumpral 등(1980)이 제시한 行列式에 의한 작업기의 힘의 分析方法을 利用하여 檢力計는 다음과 같이 補正되었다.

$$\text{牽引力} \quad F_x = 1.08 M_x + 0.52 M_y - 0.10 M_z \quad (4)$$

$$\text{垂直力} \quad F_y = 1.78 M_x + 1.05 M_y + 0.18 M_z \quad (5)$$

$$\text{側方分力} \quad F_z = -0.14 M_x - 0.11 M_y + 0.98 M_z \quad (6)$$

여기서 M_x, M_y, M_z 는 스트레이인 게이지로부터 测定된 값을 나타낸다.

人工 手槽 실험기는 일정방향의 側方分력을 豫測하였으나, 자체의 振動으로 인하여 兩方向의 側方分력이 测定되어 구조기의 각도를 調整하여 側方分력이 생기지 않도록 調整하였으며 側方分력을 测定되지 않았다.

이 檢力計는 3 조의 스트레이인 게이지로 設計되었으므로 構造上 힘의 干涉을 완전 除去할 수 없었으며 세 방향의 힘을 동시에 测定하기 위해서는 檢力計의 構造를 變更하여야 되다는 것을 발견하였다.

函數 發生器를 利用하여 入力된 信號는 신호 조정기를 통과한 出力信號와 比較하여 测定되었다. 信

號發生器는 檢證 實驗時 매우正確한 출력 상태를 보여 주었으나 人工 土槽에서 實驗시에 振動에 의한 소음과 磁氣現象 등에 의한 환경요인으로 부터 誤差가 發生하였다. セン서의 電源과 신호 조정기의 電源을 完全 分리하므로서 誤差가 減少하였으나 소음에 의하여 發生되는 誤差는 완전히 除去되지 않았다. ロ터리 인코더는 디지털 신호의 特性으로 인하여 환경의 影響을 받지 않고 매우 正確히 作動하였다. ロ터리 인코더에서 發생한 펄스를 資料 菲集裝置와 100 MHz의 實行速度를 가진 카운터를 利用하여 計數하여 比較한 結果 그 差異는 1%를 초과하지 않았다.

5. 要約 및 結論

圓板形 溝切器(coulter)의 作業效率 評價에 필요한 자료를 정확하고 효율적으로 测定하기 위하여 Aim-65 마이크로 컴퓨터를 이용한 資料 菲集裝置를 개발하였다. 資料 菲集裝置는 溝切器에 作用하는 牽引力, 垂直力 및 側方分力을 测定하기 위한 檢力計, 溝切器의 回轉 speed와 人工 土槽의 行走速度를 测定하기 위한 ロ터리 인코더, 신호의 增幅과 소음 除去를 위한 信號調整機(Signal Conditioner), 테이타의 입력과 출력을 制御하기 위한 I/O 인터페이스, 단일보드로 이루어진 Aim-65 마이크로 컴퓨터, 資料 貯藏을 위한 디지털 녹음기로 이루어졌다.

資料 菲集裝置의 制御 프로그램은 Aim-65 어셈블리 언어를 使用하였으며 키보드의 输入에 의하여 制御되었다. 프로그램은 0.2초마다 セン서로 부터 檢出된 信號를 읽고 원하는 單位로 轉換하여 키보드의 输入신호에 의하여 필요한 資料를 화면에 出力시키고 디지털 테이프에 貯藏할 수 있도록 開發하였다.

檢力計에 나타난 각 방향 간의 힘의 干涉을 最少化하기 위하여 行列式에 의한 힘의 分析방법을 이용하여 補正하였으며 信號調整機의 公급 電源과 セン서의 公급 電源을 분리하므로서 資料 菲集裝置의 誤差를 줄일 수 있었다. 각 방향 간의 힘의 干涉을 排除하여 세 방향의 힘을 동시에 测定하기 위하여

서는 檢力計를 다시 설계할 필요가 있다. 디지털 펄스를 發生하는 ロ터리 인코더는 카운터를 이용하여 매우 정확한 速度의 测定이 가능하였다.

參考文獻

- 柳寬熙, 柳永善, 姜根, 朴普淳, 張世權. 1985. 트랙터의 圍場性能評價를 위한 資料 菲集處理 시스템의 개발. 農業機械學會誌 10(2):19-26.
- 李揆昇, 鄭昌柱, 李鎔國, 朴勝濟. 1988. 農用車輪의 性能評價를 위한 人工土槽 시스템의 製作 및 資料 菲集 시스템의 構成. 農業機械學會誌 13(2): 28-37.
- Bedri, A.A., S.J. Marley, W.F. Buchele, and T.A. Smay. 1981. Tractor performance monitor based on a single-chip microcomputer. ASAE Paper No. 81-1543.
- Chung, Y.G. 1983. An instrumentation system for measuring tractor field performance. Unpublished Ph.D. dissertation. Library, Iowa State University, Ames, Iowa.
- Dally, J.W. and W.F. Riley. 1978. Experimental stress analysis. McGraw-Hill Book Company, Inc., New York.
- Grevis-James, I.W., D.R. DeVoe, P.D. Bloome and D.G. Batchelder. 1981. Microcomputer based data acquisition system for tractors. ASAE Paper No. 81-1578.
- McConnell, K.G. and Y.S. Park. 1981. Electronic compensation of a force transducer from measuring fluid forces acting on an accelerating cylinder. Experimental Mechanics. 21(4):169-172.
- Morris, D.A., S.W. Searcy, and B.A. Stout. 1983. On-board tractor microcomputer system. National Conference on Agricultural Electronics Applications, Dec. 11-13, 1983, Chicago, Illinois, ASAE.
- Perumpral, J.V., L.C. Chance, F.E. Woeste, and C.S. Desai, 1980. A matrix method for

〈241페이지에 계속〉

- control system for CASE 4WD tractors. SAE paper No. 810941.
11. Dwyer, M.J. 1969. The effect of draught control response on the performance of agricultural tractors. *J. Agric. Eng. Res.* 14(4):295-312.
 12. Dwyer, M.J., D.A. Crolla and G. Pearson. 1974. An investigation of the potential for improvement of tractor draught controls. *J. Agric. Eng. Res.* 19:147-165.
 13. Hesse, H. and W. Schrader. 1984. Hitch system comparison-mechanical, hydraulic, electronic. SAE paper No. 841130.
 14. Hobbs, J. and H. Hesse. 1980. Electronic/Hydraulic hitch control for agricultural tractors. SAE paper No. 801018.
 15. Kawamura, N. 1980. Farm machinery in a stage of mechantronics. *Power Farming* : 5-8.
 16. Matsui, K., H. Terao, T. Matsumi, K. Ohmiya, and S. Tsunematsu. 1972. Depth control per-
 - formance of a controlled plow. *Hokaido Bran. Journal of JSAM* 13:1-5.
 17. Smith, D.W. 1974. Variations in the forward motion of farm tractors. Ph.D. Thesis, Univ. of Illinois Library. Urbana, Illinois.
 18. Squire, R.E. 1984. Electronic draft control system. ASAE publication 8-84:67-75.
 19. Taniguchi, T., T. Ono, K. Ohtomo, and A. Kanada. 1972. Studies on the hydraulic draft control system of farm tractors (part 1)-Stationary experiments. *Hokaido Bran. Journal of JSAM* 12:1-7.
 20. Taniguchi, T., T. Ono, and K. Ohmoto. 1976. Control characteristics on draft-controlled plowing as level land plowing. *Hokaido Bran. Journal of JSAM* 16:16-20.
 21. Taniguchi, T., T. Ono, and K. Ohmoto. 1976. Control characteristics on draft-controlled plowing—Plowing the field of sinusoidal undulation. *Hokaido Bran. Journal of JSAM* 17:4-9.
-

〈228 챠이지에 서 계속〉

- force and moment analysis on a tillage tool. *Transactions of the ASAE*. 23(5):1072-1075.
10. Rockwell International Corp. 1979. AIM 65 microcomputer user's guide. Rockwell International Corp., Microelectronic Devices, Anaheim, California.
 11. Strange, K., L.L. Christianson and R. Alcock. 1982. Portable instrumentation package for measuring tractor work. ASAE Paper No. 82-5516.
 12. Tompkins, F.D. and L.R. Wilhelm. 1982. Micro-computer-based tractor data acquisition system. *Transactions of the ASAE*. 25(6):1540-1543.
 13. Wilhelm, L.R., K.E. DeBusk, A.R. Womac, and M.W. Cantrell. 1982. A data acquisition system for field use. ASAE Paper No. 82-3030.